

Методические указания по выполнению контрольной работы
«ОПРЕДЕЛЕНИЕ ПАРАМЕТРОВ ЭЛЕКТРОДВИГАТЕЛЕЙ ПО КАТАЛОЖНЫМ И
ПАСПОРТНЫМ ДАННЫМ»

1. Определение параметров двигателя постоянного тока независимого возбуждения	2
2. Определение параметров схемы замещения асинхронного двигателя по справочным данным.....	3
3. Определение параметров схемы замещения асинхронного двигателя по каталогным данным	6
Список используемой литературы	14
Приложение 1	14
Приложение 2	17
Приложение 3	18
Приложение 4	199
Приложение 5	211
Приложение 6	222

Выполнение контрольной работы по предложенной методике позволяет определить параметры ЭД постоянного тока и асинхронного ЭД, необходимые для разработки их компьютерных моделей.

Варианты заданий по выбору ЭД из приложений соответствуют порядковому номеру ФИО студента в списке группы.

Например, Аборкину А.А необходимо выполнить необходимые расчеты для ЭД №1 из приложений № 1-6

Составитель: Егоров И.Н.

1. Определение параметров двигателя постоянного тока независимого возбуждения

В каталогах (5,6) на двигатели постоянного тока приводятся следующие технические данные:

P_H - номинальная мощность двигателя, кВт;

U_H - номинальное напряжение, В;

I_H - номинальный ток двигателя, А;

$R_{яд}$ - сопротивление обмотки якоря двигателя при 15 °C, Ом;

η_H - сопротивление добавочных полюсов двигателя при 15 °C, Ом; $B_{дe}$ - индуктивность цепи обмотки якоря двигателя, Гн;

n_H - номинальный коэффициент полезного действия двигателя, %; n_H - номинальная частота вращения, $\frac{\text{об}}{\text{мин}}$;

$J_{дв}$ - момент инерции двигателя, кг·м².

$$R_{дв} = (R_{яд} + R_{дп}) = 0,5 \cdot (1 - \frac{\eta_H}{100}) \cdot \frac{U_H}{I_H}, \text{ Ом}.$$

Сопротивление обмотки якоря горячее при температуре двигателя, равной 75 °C:

$$R_{дв,гор} = 1,24 \cdot R_{дв}, \text{ Ом}.$$

Индуктивность цепи обмотки якоря двигателя

$$L_{дв} = k \cdot \frac{U_H}{2 \cdot p \cdot n_H \cdot I_H}, \text{ Гн},$$

В тех случаях, когда в каталогах параметры двигателя не приводятся, их ориентировочно определяют по следующим формулам: Сопротивление цепи обмотки якоря [6]

где p - число пар полюсов двигателя;

$k = 6 \div 8$ - для быстроходных некомпенсированных машин;

$k = 8 \div 12$ - для нормальных некомпенсированных машин;

$k = 5 \div 6$ - для компенсированных машин.

Коэффициент ЭДС и электромагнитного момента

$$c = \frac{U_H - I_H \cdot R_{дв.гор}}{\omega_H}, \frac{В \cdot с}{рад},$$

где $\omega_H = \frac{\pi \cdot n_H}{30}$ номинальная угловая скорость двигателя, $\frac{рад}{с}$.

Номинальный электромагнитный момент двигателя

$$M_H = c \cdot I_H, \text{ Н} \cdot \text{м.}$$

Номинальный момент двигателя на валу

$$M_{дв.H} = \frac{1000 \cdot P_H}{\omega_H}, \text{ Н} \cdot \text{м.}$$

2. Определение параметров схемы замещения асинхронного двигателя по справочным данным

В наиболее полных справочниках по асинхронным двигателям приведены следующие физические величины, необходимые для определения параметров его схемы замещения:

P_H - номинальная мощность двигателя, кВт;

U_{1H} - номинальное фазное напряжение, В;

η_H - коэффициент полезного действия электродвигателя в режиме номинальной мощности (100%-я нагрузка), %;

$\cos \varphi_V$ - коэффициент мощности в режиме номинальной мощности (100%-я нагрузка), о. е.;

R'_1 - активное сопротивление обмотки статора, о. е.;

$X'_{1\sigma}$ - индуктивное сопротивление рассеяния обмотки статора, о. е.;

R'_2 - активное сопротивление обмотки ротора, приведенное к обмотке статора, о. е.;

$X'_{2\sigma}$ - индуктивное сопротивление рассеяния обмотки ротора, приведенное к обмотке статора, о. е.;

X'_m - индуктивное сопротивление контура намагничивания (главное индуктивное сопротивление), о. е.

В этом случае нахождение параметров схемы замещения асинхронного двигателя не представляет сколько-нибудь заметных трудностей и выполняется в следующей последовательности.

Определяется номинальный ток статора двигателя

$$I_{1H} = \frac{P_H}{m_1 \cdot U_{1H} \cdot \cos \varphi_H \cdot \eta_H}.$$

Вычисляется базисное сопротивление

$$Z_6 = \frac{U_{1H}}{I_{1H}}.$$

Находятятся параметры схемы замещения двигателя в физических величинах:

$$R_1 = R'_1 \cdot Z_6, \text{ Ом.}$$

Активное сопротивление обмотки статора

Индуктивное сопротивление рассеяния обмотки статора

$$X_{1\sigma} = X'_{1\sigma} \cdot Z_6, \text{ Ом.}$$

Активное сопротивление обмотки ротора, приведенное к обмотке статора,

$$R'_2 = R''_2 \cdot Z_6, \text{ Ом.}$$

Индуктивное сопротивление рассеяния обмотки ротора, приведенное к обмотке статора,

$$X'_{2\sigma} = X''_{2\sigma} \cdot Z_6, \text{ Ом.}$$

Индуктивное сопротивление контура намагничивания

$$X_m = X'_m \cdot Z_6, \text{ Ом.}$$

Найденные параметры схемы замещения позволяют рассчитать статические характеристики асинхронного двигателя, например по формуле Клосса, т. е. без учета насыщения зубцов от полей рассеяния и вытеснения тока в

стержнях беличьей клетки.

Пример 1. Для короткозамкнутого асинхронного двигателя типа 4А112МВ6У3 определить параметры Т-образной схемы замещения. Двигатель имеет следующие технические данные:

- номинальная мощность двигателя $P_H = 4 \text{ кВт}$
- номинальное фазное напряжение $U_{1H} = 220 \text{ В}$;
- коэффициент полезного действия электродвигателя в режиме номинальной мощности (100%-я нагрузка) $\eta_H = 82,0 \%$;
- коэффициент мощности в режиме номинальной мощности (100%-я нагрузка) $\cos \varphi_V = 0,81 \text{ о. е.}$;
- активное сопротивление обмотки статора $R'_1 = 0,077 \text{ о. е.}$;
- индуктивное сопротивление рассеяния обмотки статора $X'_{1\sigma} = 0,073 \text{ о. е.}$;
- активное сопротивление обмотки ротора, приведенное к обмотке статора, $R'_2 = 0,062 \text{ о. е.}$;
- индуктивное сопротивление рассеяния обмотки ротора, приведенное к обмотке статора, $X'_{2\sigma} = 0,11 \text{ о. е.}$;
- индуктивное сопротивление контура намагничивания (главное индуктивное сопротивление) $X'_m = 2,0 \text{ о. е.}$.

Решение

Номинальный ток статора двигателя

$$I_{1H} = \frac{P_H}{m_1 \cdot U_{1H} \cdot \cos \varphi_H \cdot \eta_H} = \frac{4000}{3 \cdot 220 \cdot 0,81 \cdot 0,82} = 9,125 \text{ А.}$$

Базисное сопротивление

$$Z_6 = \frac{U_{1H}}{I_{1H}} = \frac{220}{9,125} = 24,1 \text{ о. е.}$$

Параметры схемы замещения двигателя в физических величинах:

Активное сопротивление обмотки статора

$$R_1 = R'_1 \cdot Z_6 = 0,077 \cdot 24,1 = 1,856 \text{ Ом.}$$

Индуктивное сопротивление рассеяния обмотки статора

$$X_{1\sigma} = X'_{1\sigma} \cdot Z_6 = 0,073 \cdot 24,1 = 1,759 \text{ Ом.}$$

Активное сопротивление обмотки ротора, приведенное к обмотке статора,

$$R'_2 = R''_2 \cdot Z_6 = 0,062 \cdot 24,1 = 1,494 \text{ Ом.}$$

Индуктивное сопротивление рассеяния обмотки ротора, приведенное к обмотке статора,

$$X'_{2\sigma} = X''_{2\sigma} \cdot Z_6 = 0,11 \cdot 24,1 = 2,651 \text{ Ом.}$$

Индуктивное сопротивление контура намагничивания

$$X_m = X'_m \cdot Z_6 = 2,0 \cdot 24,1 = 48,2 \text{ Ом.}$$

3. Определение параметров схемы замещения асинхронного двигателя по каталожным данным

Как правило, в каталогах на асинхронные двигатели приводятся следующие технические данные:

P_n - номинальная мощность двигателя, кВт;

U_{1n} - номинальное фазное напряжение, В;

I_{1n} - номинальный ток статора двигателя, А;

N_n - номинальная частота вращения, об/мин;

S_n - номинальное скольжение, о. е.;

η_n - коэффициент полезного действия электродвигателя в режиме номинальной мощности (100%-я нагрузка), %;

$\cos \varphi_v$ - коэффициент мощности в режиме номинальной мощности, о. е.;

$k_i = \frac{I_p}{I_n}$ - кратность пускового тока, о. е.;

$$k_{\Pi} = \frac{M_{\Pi}}{M_{\text{H}}} - \text{кратность пускового момента, о. е.};$$

$$k_{\max} = \frac{M_{\text{kp}}}{M_{\text{H}}} - \text{кратность максимального момента, о. е.};$$

$$k_{\min} = \frac{M_{\min}}{M_{\text{H}}} - \text{кратность минимального момента, о. е.}$$

Эти данные позволяют определить параметры схемы замещения при следующих основных допущениях:

- магнитные и механические потери в двигателе составляют $0,02 \cdot P_{\text{H}}$;
- активные сопротивления статорной и роторной обмоток полагаются независящими от режима работы двигателя, т. е. эффекты вытеснения тока не учитываются.

Определяется ток холостого хода асинхронного двигателя [8]

$$I_0 = \sqrt{\frac{I_{1\text{H}}^2 - [p_* I_{1\text{H}}(1-s_{\text{H}})/(1-p_* s_{\text{H}})]^2}{1 - [p_*(1-s_{\text{H}})/(1-p_* s_{\text{H}})]^2}},$$

где $I_{1\text{H}}$ – номинальный ток статора двигателя, А;

$s_{\text{H}} = (n_0 - n_{\text{H}})/n_0$ – номинальное скольжение, о. е.;

n_0 – синхронная частота вращения, об/мин;

$U_{1\text{H}}$ – номинальное фазное напряжение, В;

$$I_{11} = \frac{p_* \cdot P_{\text{H}}}{m_1 \cdot U_{1\text{H}} \cdot \cos \varphi_{p_*} \cdot \eta_{p_*}}$$

- ток статора двигателя при частичной загрузке, А;

$\cos \varphi_{p_*}$ – коэффициент мощности при частичной загрузке, о. е.;

η_{p_*} – КПД электродвигателя при частичной загрузке, о. е.;

$p_* = P/P_{\text{H}}$ – коэффициент загрузки двигателя, о. е.;

P – мощность двигателя при частичной загрузке, кВт.

Коэффициенты мощности и КПД при частичной загрузке в технической литературе приводятся редко, а для целого ряда серий электрических машин такие данные в справочной литературе отсутствуют. Эти параметры можно

определить, руководствуясь следующими соображениями:

- современные асинхронные двигатели проектируются таким образом, что наибольший КПД достигается при загрузке на 10÷15 % меньше номинальной [4]. Двигатели рассчитываются так потому, что большинство из них, в силу стандартной дискретной шкалы мощностей, работают с некоторой недогрузкой. Поэтому КПД при номинальной нагрузке и нагрузке $p^* = 0,75$ практически равны между собой, т. е.

$$\eta_H \approx \eta_{0,75};$$

- коэффициент мощности при той же нагрузке ($p^* = 0,75$) сильно отличается от коэффициента мощности при номинальной нагрузке, причем это отличие в значительной степени зависит от мощности двигателя и для известных серий асинхронных двигателей с достаточной для практики точностью подчиняется зависимости, приведенной на рис. 4.4.

Из формулы Клосса определим выражение для расчета критического скольжения

$$s_K = s_H \frac{k_{\max} + \sqrt{(k_{\max})^2 - [1 - 2 \cdot s_H \cdot \beta \cdot (k_{\max} - 1)]}}{1 - 2 \cdot s_H \cdot \beta \cdot (k_{\max} - 1)}, \quad (4.28)$$

$$\text{где } \beta = R_1 / (C_1 \cdot R_2'); \quad (4.29)$$

$$C_1 = 1 + [I_0 / (2 \cdot k_i \cdot I_{1H})]. \quad (4.30)$$

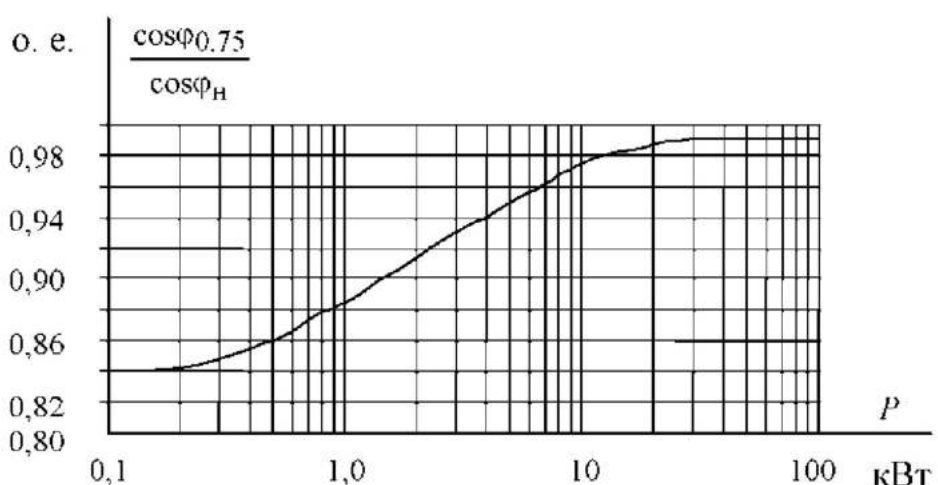


Рис. 4. Зависимость $\cos \varphi_{0,75} / \cos \varphi_H$ от мощности асинхронного

двигателя

Значение коэффициента P , согласно источнику [4], находится в диапазоне $0,6 + 2,5$.

Определим коэффициент

$$A_1 = m \cdot U_{\text{lh}}^2 \cdot (1 - s_{\text{h}}) / (2 \cdot C_1 \cdot k_{\max} \cdot P_{\text{h}}),$$

тогда активное сопротивление ротора, приведенное к обмотке статора асинхронного двигателя,

$$R_2' = A_1 / (\beta + 1/s_{\text{k}}) C_1, \text{ Ом.}$$

Активное сопротивление статорной обмотки можно найти по следующему выражению:

$$R_1 = C_1 \cdot R_2' \cdot \beta, \text{ Ом.}$$

Определим параметр g , который позволяет найти индуктивное сопротивление короткого замыкания X_{kh} :

$$\gamma = \sqrt{(1/s_{\text{k}}^2) - \beta^2}.$$

Очевидно, что при отрицательном подкоренном выражении первоначально принятое значение в необходимо изменить.

Тогда индуктивное сопротивление короткого замыкания

$$X_{\text{kh}} = \gamma \cdot C_1 \cdot R_2'.$$

Для того чтобы выделить из индуктивного сопротивления короткого замыкания X_{kh} сопротивления рассеяния фаз статора $X_{1\text{ch}}$ и ротора $X_{2\sigma}'$, воспользуемся соотношениями [8], которые справедливы для серийных асинхронных двигателей.

$$X_{2\text{ch}}' = 0,58 \cdot X_{\text{kh}} / C_1, \text{ Ом.}$$

Индуктивное сопротивление рассеяния фазы статорной обмотки может быть определено по следующему выражению:

$$X_{1\text{ch}} = 0,42 \cdot X_{\text{kh}}, \text{ Ом.}$$

Индуктивное сопротивление рассеяния фазы роторной обмотки,

приведенное к статорной, может быть рассчитано по уравнению

Согласно векторной диаграмме (см. рис. 4.7) ЭсДС ветви намагничивания E_{mH} , наведенная потоком воздушного зазора в обмотке статора в номинальном режиме, равна

$$E_{mH} = \sqrt{(U_{1H} \cdot \cos \varphi_{1H} - R_1 \cdot I_{1H})^2 + (U_{1H} \cdot \sqrt{1 - \cos^2 \varphi_{1H}} - X_{1\Theta H} \cdot I_{1H})^2},$$

тогда индуктивное сопротивление контура намагничивания

$$X_{mH} = E_{mH} / I_0.$$

Приведенная методика дает удовлетворительное схождение расчетных механических характеристик и механических характеристик, построенных по трем паспортным точкам на рабочем участке механической характеристики, т. е. при изменении скольжения s от 0 до s_k .

Используя параметры схемы замещения, можно произвести расчет механических и электромеханических характеристик асинхронного двигателя.

Пример 4.2. Для короткозамкнутого асинхронного двигателя типа 4А112МВ6УЗ определить параметры Т-образной схемы замещения. Двигатель имеет следующие технические данные:

- номинальная мощность $P_H = 4$ кВт;
- номинальное фазное напряжение $U_{1H} = 220$ В;
- синхронная частота вращения $n_0 = 1000$ об/мин;
- номинальное скольжение $s_H = 0,051$ о. е.;
- коэффициент полезного действия электродвигателя в режиме номинальной мощности (100%-я нагрузка) $\eta_H = 82\%$;
- коэффициент мощности в режиме номинальной мощности $\cos \varphi_H = 0,81$ о. е.;
- кратность пускового тока $I_{\pi}/I_{1H} = k_i = 6$ о. е.;
- кратность пускового момента $M_{\pi}/M_H = k_{\pi} = 2$ о. е.;
- кратность максимального момента $M_{\max}/M_H = k_{\max} = 2,2$ о. е.;
- кратность минимального момента $M_{\min}/M_H = k_{\min} = 1,6$ о. е.

Решение

Ток холостого хода асинхронного двигателя

$$I_0 = \sqrt{\frac{I_{11}^2 - [P_* I_{1H}(1-s_H)/(1-p_* s_H)]^2}{1 - [p_*(1-s_H)/(1-p_* s_H)]^2}} = \sqrt{\frac{7,29^2 - [0,75 \cdot 9,125 \cdot (1-0,051)/(1-0,75 \cdot 0,051)]^2}{1 - [0,75(1-0,051)/(1-0,75 \cdot 0,051)]^2}} = 4,046 \text{ A},$$

где $I_{1H} = \frac{P_H}{m_1 \cdot U_{1H} \cdot \cos \varphi_H \cdot \eta_H} = \frac{4000}{3 \cdot 220 \cdot 0,81 \cdot 0,82} = 9,125 \text{ A}$ – номинальный ток статора двигателя;

$m_1 = 3$ – число фаз асинхронного двигателя;

$I_{11} = \frac{p_* \cdot P_H}{m_1 \cdot U_{1H} \cdot \cos \varphi_{p_*} \cdot \eta_{p_*}} = \frac{0,75 \cdot 4000}{3 \cdot 220 \cdot 0,76 \cdot 0,82} = 7,29 \text{ A}$ – ток статора двигателя при частичной загрузке;

$\cos \varphi_{p*} = 0,94 \cdot \cos \varphi_H = 0,94 \cdot 0,81 = 0,76$ о. е. – коэффициент мощности при частичной загрузке (см. рис. 1.6);

$\eta p^* = \eta_H = 0,82$ о. е. – КПД при частичной загрузке;

$p^* = P/P_H = 0,75$ о. е. – коэффициент загрузки двигателя. Критическое скольжение

$$s_K = s_H \frac{k_{\max} + \sqrt{(k_{\max})^2 - [1 - 2 \cdot s_H \cdot \beta \cdot (k_{\max} - 1)]}}{1 - 2 \cdot s_H \cdot \beta \cdot (k_{\max} - 1)} = 0,051 \frac{2,2 + \sqrt{2,2^2 - [1 - 2 \cdot 0,051 \cdot 1,3(2,2 - 1)]}}{1 - 2 \cdot 0,051 \cdot 1,3(2,2 - 1)} = 0,2547.$$

Значение коэффициента β , согласно [4], находится в диапазоне $0,6 = 2,5$. Принимаем $\beta = 1,3$.

Определим коэффициенты:

$$C_1 = 1 + \frac{I_0}{2 \cdot k_i \cdot I_{1H}} = 1 + \frac{4,046}{2 \cdot 6 \cdot 9,125} = 1,037;$$

$$A_1 = \frac{m \cdot U_{1H}^2 \cdot (1-s_H)}{2 \cdot C_1 \cdot k_{\max} \cdot P_H} = \frac{3 \cdot 220^2 (1-0,051)}{2 \cdot 1,037 \cdot 2,2 \cdot 4000} = 7,55.$$

Активное сопротивление ротора, приведенное к обмотке статора

асинхронного двигателя,

$$R_2' = \frac{A_l}{(\beta + 1/s_k) \cdot C_1} = \frac{7,55}{(1,3 + 1/0,2435) \cdot 1,037} = 1,393 \text{ Ом.}$$

Активное сопротивление обмотки статора

$$R_1 = C_1 \cdot R_2' \cdot \beta = 1,037 \cdot 1,393 \cdot 1,3 = 1,878 \text{ Ом.}$$

Определим параметр g , который позволяет найти индуктивное сопротивление короткого замыкания X :

$$\gamma = \sqrt{(1/s_k^2) - \beta^2} = \sqrt{(1/0,2547^2) - 1,3^2} = 3,704.$$

Тогда

$$X_{\text{кн}} = \gamma \cdot C_1 \cdot R_2' = 3,704 \cdot 1,037 \cdot 1,393 = 5,352.$$

Индуктивное сопротивление рассеяния фазы роторной обмотки, приведенное к статорной, может быть рассчитано по уравнению

$$X_{2\sigma\text{н}}' = 0,58 \cdot X_{\text{кн}} / C_1 = 0,58 \cdot 5,352 / 1,037 = 2,994 \text{ Ом.}$$

Индуктивное сопротивление рассеяния фазы статорной обмотки может быть определено по следующему выражению:

$$X_{1\sigma\text{н}} = 0,42 \cdot X_{\text{кн}} = 0,42 \cdot 5,352 = 2,248 \text{ Ом.}$$

ЭДС ветви намагничивания E_m , наведенная потоком воздушного зазора в обмотке статора вnominalном режиме, равна

$$E_m = \sqrt{(U_{1H} \cdot \cos \varphi_{1H} - R_1 \cdot I_{1H})^2 + (U_{1H} \sqrt{1 - \cos^2 \varphi_{1H}} - X_{1\sigma\text{н}} \cdot I_{1H})^2} = \\ = \sqrt{(220 \cdot 0,81 - 1,878 \cdot 9,125)^2 + (220 \sqrt{1 - 0,81^2} - 2,248 \cdot 9,125)^2} = 194,15 \text{ В,}$$

тогда индуктивное сопротивление контура намагничивания

$$X_{m\text{н}} = \frac{E_m}{I_0} = \frac{194,15}{4,046} = 47,98 \text{ Ом.}$$

В табл. 4.2 приведены параметры схемы замещения асинхронного

двигателя, рассчитанные по каталожным данным (строка 1), заложенные в проектные расчеты этого двигателя [4] (строка 2), а также погрешность 5, %, определения каждого из параметров (строка 3).

Таблица 4.2

Параметр	R_1	$X_{1\sigma}$	R'_2	$X'_{2\sigma}$	X_m
Расчет	1,878	2,248	1,393	2,994	47,98
Проект	1,856	1,759	1,494	2,651	48,2
Погрешность, %	1,17	21,7	8,0	11,4	0,456

Как следует из анализа результатов, приведенных в табл. 4.2, сходимость расчетных параметров схемы замещения и проектных данных завода-изготовителя в основном находится в инженерных допусках.

Список используемой литературы

1. Чиликин М.Г., Сандлер А.С. Общий курс электропривода: учебник для вузов. - М.: Энергоиздат, 1981. - 576 с.
2. Москаленко В.В. Автоматизированный электропривод: учебник для вузов. - М.: Энергоатомиздат, 1986. - 416 с.
3. Приводы машин: справочник / В.В. Длоугий, Т.И. Муха, А.П. Цупиков, Б.В. Януш; под общ. ред. В.В. Длоугого. - 2-е изд., пере- раб. и доп. - Л.: Машиностроение, Ленингр. Отд-ние, 1982. - 383 с.
4. Справочник по электрическим машинам: в 2 т.; под общ. ред. И.П. Копылова, Б.К. Клокова. - М.: Энергоатомиздат, 1989. - 688 с.: ил.
5. Вешеневский С.Н. Характеристики двигателей в электроприводе. - М.: Энергия, 1977. - 432 с.
6. Башарин А.В., Голубев Ф.Н., Кепперман В.Г. Примеры расчетов автоматизированного электропривода. - Л., Энергия, 1971. - 440 с.
7. Асинхронные двигатели серии 4А. Справочник / А.Э. Кравчик, М.М. Шлаф, В.И. Афонин, Е.А. Соболевская. - М.: Энергоатомиздат, 1982. - 380 с.
8. Мошинский Ю.А., Беспалов В.Я., Кирякин А.А. Определение параметров схемы замещения асинхронной машины по каталожным данным // Электричество. - 1998. - № 4. - С. 39-42.
9. Автоматизированный электропривод промышленных установок; под ред. Г.Б. Онищенко. - М.: РАСХН, 2001. - 520 с.
10. Чернышев А.Ю. Автоматизированный электропривод: методические указания и задания по курсовому проектированию. - Томск: Изд. ТПИ, 1974. -19 с.
11. Андреев В.П., Сабинин Ю.А. Основы электропривода. - Л.-М.: Госэнергоиздат, 1963. - 722 с.
12. Чернышев А.Ю., Кояин Н.В. Проектирование электрических приводов: учебно-метод. пособие. - Томск: Изд. ТПУ, 2005
13. Теория электропривода. Примеры расчетов: учебное пособие / Г.И. Драчев, М.А. Григорьев, А.Н. Шишков, С.М. Бутаков, А.В. Валов; под ред. Г.И. Драчева. – Челябинск: Издательский центр ЮУрГУ, 2012. – 192 с.

Приложение 1

Технические данные асинхронных двигателей с фазным ротором
типа МТ, МТВ, МТН ($U_{1\pi} = 380$ В; $U_{1\phi} = 220$ В; 50 Гц; ПВ, % = 25)

Тип	P_n , кВт	n_n , об/ мин	M_{max} $\frac{M_{max}}{M_n}$	Статор				
				cosφ		I_{1n} , А	I_0 , А	R_1 , Ом
				ном.	х.х.			
МТ011-6	1,4	885	2,3	0,65	0,15	5,3	3,9	5,98
МТ012-6	2,2	895	2,3	0,67	0,13	7,5	5,4	3,6
МТ111-6	3,5	915	2,3	0,7	0,11	10,5	6,6	2,116
МТ112-6	5	925	2,5	0,69	0,12	14,8	9,5	1,32
МТ211-6	7,5	935	2,5	0,7	0,09	20,8	11,8	0,68
МТВ311-6	11	945	2,8	0,73	0,09	28,6	16,7	0,54
МТВ311-8	7,5	695	2,5	0,71	0,09	21	14	0,88
МТВ312-6	16	955	2,8	0,77	0,08	37,6	20,6	0,33
МТВ312-8	11	710	2,8	0,66	0,1	33	22,1	0,53
МТВ411-6	22	965	2,8	0,71	0,07	55	33,2	0,19
МТВ411-8	16	715	2,8	0,65	0,08	45,7	30,2	0,285
МТВ412-6	30	970	2,8	0,73	0,06	70,5	42	0,125
МТВ412-8	22	720	2,8	0,69	0,07	58,0	37,1	0,207
МТВ511-8	30	720	2,8	0,68	0,06	77	46	0,123
МТВ512-8	40	730	2,8	0,69	0,06	101	60	0,08
МТВ611-10	45	575	3	0,7	0,066	115	80	0,087
МТВ612-10	60	578	3	0,72	0,061	145	93	0,055
МТВ613-10	80	580	3	0,72	0,056	190	120	0,042
МТВ711-10	100	584	2,8	0,67	0,053	255	180	0,025
МТВ712-10	125	587	2,8	0,66	0,045	320	230	0,016
МТВ713-10	160	587	2,8	0,68	0,04	395	285	0,012
МТН111-6	3,5	870	1,2	0,72	0,154	11,6	9,87	2,62
МТН112-6	5,3	885	2	0,76	0,123	15,3	11,8	1,61
МТН211-6	832	900	2	0,7	0,112	24,6	19	0,835
МТН311-6	13	925	2,5	0,74	0,095	35	23,2	0,51
МТН312-6	17,5	945	2,4	0,77	0,092	43	34,4	0,337
МТН311-8	9	675	2	0,74	0,12	26,1	17,7	0,98
МТН312-8	13	690	2,5	0,74	0,106	34,7	27,5	0,534
МТН411-6	27	950	3	0,77	0,08	65	39,7	0,219
МТН412-6	36	955	3,1	0,75	0,071	87	51,8	0,133
МТН411-8	18	695	2,5	0,73	0,086	48	29,8	0,352
МТН412-8	26	710	2,5	0,68	0,084	72	49,6	0,202
МТН511-8	34	695	2,3	0,77	0,07	82	47,4	0,164
МТН512-8	45	695	3	0,79	0,08	104	53,1	0,103
МТН611-10	53	560	3,2	0,76	0,08	128	78,1	0,086
МТН612-10	70	560	2,6	0,77	0,06	165	88,7	0,06
МТН613-10	90	570	2,1	0,76	0,06	207	120	0,042
МТН711-10	125	580	2,3	0,74	0,042	287	155	0,026
МТН712-10	155	580	2,3	0,75	0,044	355	183	0,02
МТН713-10	200	582	2,3	0,73	0,042	458	247	0,014
								0,048

Тип	$P_{\text{Н}}$, кВт	$n_{\text{Н}}$, об/ мин	$J_{\text{дв}}$, кг·м ²	Ротор				
				$E_{2\text{Н}}$, В	$I_{2\text{Н}}$, А	R_2 , Ом	$X_{2\sigma}$, Ом	k_e , о.е.
MT011-6	1,4	885	0,0212	112	9,3	0,695	0,565	3,14
MT012-6	2,2	895	0,0288	144	11	0,67	0,585	2,5
MT111-6	3,5	915	0,0488	181	13,7	0,525	0,755	1,96
MT112-6	5	925	0,0675	206	16,6	0,5	0,43	1,72
MT211-6	7,5	935	0,115	255	19,8	0,44	0,88	1,38
MTB311-6	11	945	0,225	172	42,5	0,11	0,225	2,1
MTB311-8	7,5	695	0,275	251	20,5	0,47	0,72	1,41
MTB312-6	16	955	0,313	208	49,5	0,099	0,25	1,75
MTB312-8	11	710	0,385	182	41	0,13	0,23	1,96
MTB411-6	22	965	0,5	225	61	0,066	0,23	1,6
MTB411-8	16	715	0,538	207	49,5	0,103	0,25	1,73
MTB412-6	30	970	0,675	259	72	0,055	0,225	1,4
MTB412-8	22	720	0,75	234	59	0,09	0,24	1,53
MTB511-8	30	720	1,025	280	67,5	0,082	0,28	1,28
MTB512-8	40	730	1,4	322	76,5	0,072	0,24	1,12
MTB611-10	45	575	4,25	185	155	0,027	0,046	1,93
MTB612-10	60	578	5,25	245	153	0,033	0,062	1,44
MTB613-10	80	580	6,25	320	155	0,038	0,078	1,12
MTB711-10	100	584	10,25	275	230	0,017	0,066	1,28
MTB712-10	125	587	12,7	345	225	0,02	0,082	1,01
MTB713-10	160	587	15	420	235	0,022	0,098	0,84
MTH111-6	3,5	870	0,195	178	16,5	0,671	0,565	4,54
MTH112-6	5,3	885	0,27	217	19	0,603	0,625	3,1
MTH211-6	832	900	0,46	257	23	0,456	0,666	2,18
MTH311-6	13	925	0,9	186	51	0,124	0,241	4,2
MTH312-6	17,5	945	1,25	233	54	0,125	0,254	2,66
MTH311-8	9	675	1,1	264	26	0,498	0,643	2,07
MTH312-8	13	690	1,25	178	53	0,13	0,1825	4,54
MTH411-6	27	950	2	247	77	0,08	0,233	2,37
MTH412-6	36	955	2,7	274	88	0,059	0,173	1,96
MTH411-8	18	695	2,15	221	59	0,125	0,245	2,96
MTH412-8	26	710	3	266	68	0,102	0,231	2,03
MTH511-8	34	695	4,3	297	81	0,124	0,448	1,645
MTH512-8	45	695	5,7	319	94	0,091	0,356	1,415
MTH611-10	53	560	17	197	185	0,0274	0,176	3,72
MTH612-10	70	560	21	262	181	0,033	0,133	2,1
MTH613-10	90	570	25	339	179	0,0384	0,0988	1,26
MTH711-10	125	580	41	288	294	0,017	0,077	1,74
MTH712-10	155	580	51	345	295	0,0189	0,091	1,21
MTH713-10	200	582	60	431	305	0,021	0,109	0,78

Приложение 2

**Технические данные асинхронных двигателей с фазным ротором
типа МТМ ($U_{1\pi} = 380$ В; $U_{1\phi} = 220$ В; 50 Гц; ПВ, % = 40)**

Тип	$P_{\text{н}},$ кВт	$n_{\text{н}},$ об/ мин	M_{max} M_{n}	Статор					
				cosφ		$I_{1\pi},$ A	$I_0,$ A	$R_1,$ Ом	$X_{1\sigma},$ Ом
				ном.	х.х.				
MTM111-6	2,2	885	2,3	0,76	0,13	6,6	4,6	4,33	2,61
MTM112-6	3,5	895	2,3	0,75	0,13	9,5	7,25	2,8	1,67
MTM211-6	5	920	2,5	0,75	0,1	13,6	9,7	1,41	1,29
MTM311-6	7,5	945	2,5	0,73	0,095	20	14,2	0,9	0,663
MTM311-8	5	685	2,5	0,73	0,12	14,7	10,2	1,76	1,24
MTM312-8	11	950	2,8	0,76	0,09	27,3	17,8	0,595	0,485
MTM312-8	7,5	695	2,5	0,74	0,105	20,6	13,9	1,04	0,833
MTM411-6	16	957	2,8	0,78	0,075	38	21,4	0,323	0,398
MTM411-8	11	710	2,8	0,7	0,085	30	21	0,465	0,543
MTM412-6	22	960	2,8	0,8	0,07	48,5	24,2	0,218	0,312
MTM412-8	16	715	2,8	0,7	0,08	42,5	30	,0316	0,371
MTM511-8	22	715	2,8	0,736	0,07	55	37	0,205	0,284
MTM512-8	30	716	2,8	0,73	0,07	72	46	0,141	0,214
MTM611-10	38	577	3,0	0,75	0,07	90	57	0,119	0,222
MTM612-10	50	577	2,8	0,77	0,06	114	66	0,088	0,176
MTM613-10	63	580	2,9	0,74	0,06	140	80	0,061	0,14
MTM711-10	80	585	2,7	0,73	0,05	188	115	0,033	0,122
MTM712-10	100	587	2,8	0,7	0,05	240	150	0,022	0,094
MTM713-10	125	587	2,9	0,75	0,04	275	156	0,018	0,081

Приложение 3

**Технические данные асинхронных двигателей с фазным ротором
типа МТФ ($U_{1\pi} = 380$ В; $U_{1\phi} = 220$ В; 50 Гц; ПВ % = 25)**

Тип	P_H , кВт	$\frac{n_H}{\text{об}}$ мин	$\frac{M_{\max}}{M_H}$	Статор				
				cosφ		I_{1H} , А	I_0 , А	R_I , Ом
				ном.	х.х.			
MTF011-6	1,7	850	2	0,72	0,166	5,9	4,9	5,78
MTF012-6	2,7	840	1,9	0,74	0,14	8,9	6,12	3,63
MTF111-6	4,1	870	1,9	0,79	0,108	11,7	7,45	2,1
MTF112-6	5,8	915	2,4	0,74	0,105	16	11,35	1,26
MTF211-6	9	915	2,1	0,74	0,085	24	14,35	0,755
MTF311-6	13	935	2,5	0,74	0,093	34,5	23,2	0,48
MTF312-6	17,5	950	2,4	0,77	0,085	42,5	28,7	0,23
MTF311-8	9	680	2,0	0,74	0,108	25,6	17,7	0,835
MTF312-8	13	695	2,5	0,76	0,081	34	24,2	0,365
MTF411-6	27	955	3	0,77	0,077	64	40	0,197
MTF412-6	36	965	3	0,75	0,069	86	51,8	0,124
MTF411-8	18	700	2,5	0,73	0,083	46,7	29,8	0,327
MTF412-8	26	715	2,5	0,68	0,08	71	49,6	0,182
								0,313

Тип	P_H , кВт	$\frac{n_H}{\text{об}}$ мин	J_{AB} , кг·м ²	Ротор				
				E_{2H} , В	I_{2H} , А	R_2 , Ом	$X_{2\sigma}$, Ом	k_e , о.е.
MTF011-6	1,7	850	0,085	126	12	0,77	0,566	9,06
MTF012-6	2,7	840	0,115	154	15	0,745	0,59	6,06
MTF111-6	4,1	870	0,195	175	18,7	0,6	0,57	4,65
MTF112-6	5,8	915	0,27	217	19	0,5	0,648	3,1
MTF211-6	9	915	0,46	273	25	0,485	0,855	1,92
MTF311-6	13	935	0,9	184	51	0,111	0,241	4,2
MTF312-6	17,5	950	1,25	233	54	0,107	0,244	2,66
MTF311-8	9	680	1,1	264	26	0,46	0,643	2,07
MTF312-8	13	695	1,55	178	53	0,122	0,182	4,54
MTF411-6	27	955	2	246	77	0,076	0,236	2,37
MTF412-6	36	965	2,7	271	88	0,055	0,173	1,96
MTF411-8	18	700	2,15	221	59	0,117	0,26	2,94
MTF412-8	26	715	3	226	68	0,095	0,231	2,03

Приложение 4

Технические данные двигателей серии 4А с фазным ротором 4АК, 4АНК
 $U_{1\pi} = 380$ В; $U_{1\phi} = 220$ В; 50 Гц; ПВ, % = 100

Тип	P_n , кВт	s_n , о. е.	КПД, о. с.	$\cos\varphi_n$, о. е.	$\frac{M_{\max}}{M_n}$, о. е.	I_{2n} , А	E_{2n} , В	$J_{дв}$ · кг · м ²
Синхронная частота вращения 1500 об/мин								
4АК160S4У3	11	0,05	0,865	0,86	3	22	305	0,125
4АК160М4У3	14	0,04	0,885	0,87	3,5	29	300	0,163
4АК180М4У3	18	0,035	0,89	0,88	4	38	295	0,288
4АК200М4У3	22	0,025	0,90	0,87	4	45	340	0,463
4АК200L4У3	30	0,025	0,905	0,87	4	55	350	0,563
4АК225М4У3	37	0,035	0,90	0,87	3	160	160	0,8
4АК250SA4У3	45	0,03	0,91	0,88	3	170	230	1,25
4АК250SB4У3	55	0,03	0,905	0,9	3	170	200	1,37
4АК250М4У3	71	0,025	0,915	0,86	3	170	250	1,5
Синхронная частота вращения 1000 об/мин								
4АК160S6У3	7,5	0,05	0,825	0,77	3,5	18	300	0,175
4АК160М6У3	10	0,045	0,845	0,76	3,8	20	310	0,225
4АК180М6У3	13	0,045	0,855	0,8	4	25	325	0,275
4АК200М6У3	18,5	0,035	0,88	0,81	3,5	35	360	0,5
4АК200L6У3	22	0,035	0,88	0,8	3,5	45	330	0,563
4АК225М6У3	30	0,035	0,89	0,85	2,5	150	140	0,925
4АК250S6У3	37	0,035	0,89	0,84	2,5	165	150	1,5
4АК250М6У3	45	0,03	0,905	0,87	2,5	160	180	1,625
Синхронная частота вращения 750 об/мин								
4АК160S8У3	5,5	0,065	0,8	0,7	2,5	14	300	0,175
4АК160М8У3	7,5	0,06	0,82	0,7	3	16	290	0,225
4АК180М8У3	11,5	0,04	0,855	0,72	3,5	25	270	0,313
4АК200М8У3	15	0,035	0,86	0,7	3	28	360	0,5
4АК200L8У3	18,5	0,035	0,86	0,73	3	40	300	0,563
4АК225М8У3	22	0,045	0,87	0,82	2,2	140	102	0,925
4АК250S6У3	30	0,04	0,885	0,81	2,2	155	125	1,5
4АК250М6У3	37	0,035	0,89	0,8	2,2	155	148	1,75
Синхронная частота вращения 1500 об/мин								
4АНК160S4У3	14	0,05	0,865	0,85	3	27	330	0,13
4АНК160М4У3	17	0,05	0,88	0,87	3,5	34	315	0,17
4АНК180S4У3	22	0,055	0,87	0,86	3,2	43	300	0,247
4АНК180М4У3	30	0,045	0,88	0,81	3,2	63	290	0,3
4АНК200М4У3	37	0,03	0,90	0,88	3	62	360	0,48
4АНК200L4У3	45	0,035	0,90	0,88	3	75	375	0,585
4АНК225М4У3	55	0,04	0,895	0,87	2,5	200	170	0,832
4АНК250SA4У3	75	0,045	0,90	0,88	2,3	250	180	1,3
4АНК250SB4У3	90	0,04	0,915	0,87	2,5	260	220	1,43

Тип	$P_{\text{Н}}$, кВт	$s_{\text{Н}}$, о. е.	КПД, о. е.	$\cos\phi_{\text{Н}}$, о. е.	$\frac{M_{\text{max}}}{M_{\text{Н}}}$, о. е.	$I_{2\text{Н}}$, А	$E_{2\text{Н}}$, В	$J_{\text{дв}}$, кГ·м ²
Синхронная частота вращения 1500 об/мин								
4AHK250M4Y3	110	0,035	0,92	0,9	2,5	260	250	1,56
4AHK280S4Y3	132	0,029	0,92	0,88	2	330	251	2,99
4AHK280M4Y3	160	0,026	0,925	0,88	2	330	300	3,25
4AHK315S4Y3	200	0,025	0,93	0,89	2	396	312	4,0
4AHK315M4Y3	250	0,025	0,93	0,9	2	425	360	4,68
4AHK355S4Y3	315	0,022	0,935	0,9	2	460	420	7,8
4AHK355M4Y3	400	0,02	0,94	0,9	2	485	505	9,1
Синхронная частота вращения 1000 об/мин								
4AHK180S6Y3	13	0,07	0,835	0,81	3	42	205	0,234
4AHK180M6Y3	17	0,06	0,85	0,82	3	32,5	335	0,286
4AHK200M6Y3	22	0,035	0,88	0,81	3	37	380	0,52
4AHK200L6Y3	30	0,04	0,885	0,82	3	46	375	0,585
4AHK225M6Y3	37	0,04	0,89	0,86	1,9	180	140	0,962
4AHK250SA6Y3	45	0,04	0,895	0,86	2,3	200	155	1,56
4AHK250SB6Y3	55	0,035	0,91	0,88	2,5	185	190	0,69
4AHK250M6Y3	75	0,03	0,915	0,85	2,5	200	250	1,82
4AHK280S6Y3	90	0,036	0,90	0,88	1,9	277	202	3,77
4AHK280M6Y3	110	0,036	0,915	0,87	1,9	297	230	4,42
4AHK315S6Y3	132	0,03	0,92	0,88	1,9	320	257	5,20
4AHK315M6Y3	160	0,03	0,925	0,88	1,9	352	291	5,85
4AHK355S6Y3	200	0,025	0,93	0,89	1,8	411	304	9,45
4AHK355M6Y3	250	0,025	0,93	0,89	1,8	401	380	11,4
Синхронная частота вращения 750 об/мин								
4AHK180S8Y3	11	0,05	0,85	0,72	3,2	22,5	315	0,234
4AHK180M8Y3	14	0,045	0,865	0,69	3,5	28	310	0,325
4AHK200M8Y3	18,5	0,045	0,86	0,78	2,5	30	380	0,52
4AHK200L8Y3	22	0,045	0,87	0,79	2,5	40	330	0,585
4AHK225M8Y3	30	0,05	0,865	0,8	1,8	165	120	0,96
4AHK250SA8Y3	37	0,055	0,875	0,8	2,2	190	115	1,56
4AHK250SB8Y3	45	0,04	0,89	0,82	2,2	190	140	1,63
4AHK250M8Y3	55	0,035	0,895	0,83	2,2	185	190	1,82
4AHK280S8Y3	75	0,04	0,905	0,84	1,9	257	190	4,16
4AHK280M8Y3	90	0,04	0,905	0,84	1,9	267	214	5,33
4AHK315S8Y3	110	0,035	0,915	0,84	1,9	311	225	6,37
4AHK315M8Y3	132	0,035	0,92	0,84	1,9	364	247	7,54
4AHK355S8Y3	160	0,027	0,925	0,86	1,7	353	285	11,7
4AHK355M8Y3	290	0,027	0,925	0,86	1,7	359	350	13,0
Синхронная частота вращения 600 об/мин								
4AHK280S10Y3	45	0,05	0,89	0,78	1,8	178	162	4,68
4AHK280M10Y3	55	0,045	0,895	0,79	1,8	180	185	4,94
4AHK315S10Y3	75	0,045	0,90	0,8	1,8	221	217	6,76

Приложение 5

**Технические данные краново-металлургических двигателей
постоянного тока независимого возбуждения серии МП и ДП 220 В,
ПВ = 25 %, исполнение закрытое с естественным охлаждением
($U_H = 220$ В)**

Тип	P_H , кВт	n_H , об/ мин	I_H , А	$R_A + R_{дш}$ при 15°C , Ом	$J_{дв}$, кг·м ²
МП-12	2,5	1300	14,2	1,33	0,05
МП-22	4,5	1100	26	0,87	0,155
МП-32	9	900	48	0,348	0,305
МП-41	12	685	64	0,243	0,775
МП-42	16	700	84	0,168	0,95
МП-51	23	600	120	0,0845	2,35
МП-52	33	650	168	0,0495	3,03
МП-62	46	580	231	0,033	5,5
МП-72	75	520	374	0,0133	14
МП-82	100	475	500	0,01045	25,3
МП-82А	130	600	640	0,00685	25,3
ДП-12	3	1200	17,5	1,43	0,05
ДП-21	4,5	1050	26	0,94	0,125
ДП-22	6	1130	33	0,566	0,155
ДП-31	8,5	870	47	0,423	0,3
ДП-32	12	790	65	0,266	0,425
ДП-41	16	710	85	0,177	0,8
ДП-42	21	660	110	0,1155	1,05
ДП-52	32	760	164	0,0545	1,87
ДП-62	46	625	233	0,0332	4,0
ДП-72	67	590	338	0,0204	8,25
ДП-82	95	500	470	0,0117	17,0
ДП-92	135	470	670	0,00745	32,5
Быстроходное исполнение					
ДП-21	5,5	1470	31,5	0,072	0,125
ДП-22	8	1400	45	0,067	0,155
ДП-31	12	1310	65	0,029	0,30
ДП-32	16	1140	85	0,018	0,425
ДП-41	23	1120	120	0,0125	0,8
ДП-42	32	1000	165	0,011	1,05
ДП-52	42	970	214	0,006	1,87
ДП-82А	115	630	580	0,0025	17,0
ДП-92А	140	600	700	0,0025	17,0

Приложение 6

**Технические данные краново-металлургических двигателей
постоянного тока независимого возбуждения серии Д, ПВ = 40 %,
исполнение закрытое с естественным охлаждением**

Тип	$P_{\text{н}}$, кВт	$n_{\text{н}}$, об/ мин	$I_{\text{н}}$, А	$R_{\text{я}} + R_{\text{дп}}$ при 15°C , Ом	$J_{\text{дв}}$, кг·м ²
Тихоходные, напряжение 220 В					
Д12	2,4	1230	14	1,63	0,05
Д21	3,6	1080	20,5	0,95	0,125
Д22	4,8	1150	26	0,57	0,155
Д31	6,8	880	37	0,42	0,3
Д32	9,5	800	51	0,28	0,43
Д41	13,0	720	69,5	0,17	0,8
Д806	16,0	710	84	0,1085	1
Д808	22	630	112	0,054	2
Д810	29	600	148	0,0356	3,63
Д812	38	565	192	0,023	7
Д814	55	560	280	0,0805	10,25
Д816	70	535	350	0,084	16,25
Д818	83	470	415	0,0066	27,5
Быстроходные, напряжение 220 В					
Д21	4,4	1500	24,5	0,531	0,125
Д22	6,5	1570	34	0,322	0,155
Д31	9,5	1420	50,5	0,194	0,3
Д32	13,0	1240	68	0,125	0,425
Д41	17,5	1160	90,5	0,072	0,8
Д806	21,0	1060	110	0,047	1,0
Д808	26,0	825	134	0,0295	2,0
Тихоходные, напряжение 440 В					
Д21	3,1	1300	9,5	3,54	0,125
Д31	5,2	910	14,5	2,08	0,3
Д41	12,5	720	34	0,695	0,8
Д808	22,0	630	56	0,210	2
Д810	29,0	600	74	0,146	3,63
Д812	36,0	570	92	0,099	7
Д816	70,0	540	175	0,0324	16,25
Д818	83,0	470	205	0,026	27,5
Быстроходные, напряжение 440 В					
Д22	5,6	1550	15,5	1,69	1,69
Д32	12,0	1240	31,5	0,534	0,534
Д806	21,0	1060	55	0,205	0,205

Литература

1. Терехов В.М., Осипов О.И. Системы управления электроприводов. - Учебник. - М.: Академия, 2005. - 304с.
2. Усынин Ю.С. Системы управления электроприводов. - Учебное пособие. - Челябинск: Изд-во ЮУрГУ, 2004. - 328 с.
3. Онищенко Г.Н., Аксенов М.И., Грехов В.П. и др. Автоматизированный электропривод промышленных установок. - М.: РАСХЛ, 2001. - 520 с.